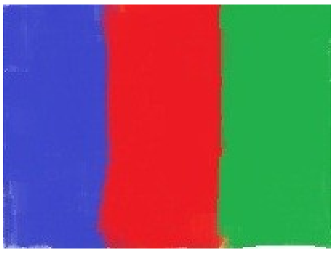

À Rabat le 11 Mars 2026

Chapitre 5 : Métamorphoses spectrales et itinéraires des signaux – Synthèse unifiée du paradigme Rachid ELAÏDI

Auteur : Rachid ELAÏDI
Affiliation : Laboratoire de Physique Théorique et de Chimie Spectrale, independent
Date : 11 mars 2026

Résumé

Ce chapitre présente une synthèse unifiée du paradigme Rachid ELAÏDI, intégrant l'ensemble des développements précédents dans une vision cohérente. À partir du Tableau Périodique des Signatures Spectrales RE (TP_RE) et de l'arbre modulo $n\pi$, nous développons une théorie complète des transitions entre le monde invisible des signaux et le monde visible des signatures. Sont formalisés : les vitesses supraluminiques ($v = n$), les entités sans masses, les intensités spectrales ($I_X = ||a(X)||^2$), les énergies de base et sporadiques ($E_X = (n_X/48)\ I_X$), ainsi que les trois phases temporelles (passé, présent, futur). Une équation maîtresse unifiée, issue d'un principe de moindre action spectrale, gouverne l'évolution des signaux à travers un espace multidimensionnel des degrés d'invisibilité ($\lambda_1, \lambda_2, \ldots, \lambda_n$). Nous établissons un tableau systématique des formes explicites des opérateurs (propagation, condensation, dislocation, brouillard) et présentons une classification complète des itinéraires – des trajectoires simples (linéaires, circulaires) aux métamorphoses complexes non encore répertoriées – que les signaux empruntent pour émerger

comme signatures dans le monde visible. Ce travail constitue la pierre angulaire d'une cartographie exhaustive des relations entre l'invisible et le visible selon le paradigme Rachid ELAÏDI .

Mots-clés : TP_RE, arbre modulo nπ, vitesses supraluminiques, sans masse, signatures spectrales, signaux, intensité, énergie sporadique, équation maîtresse, métamorphoses, itinéraires.

---

1. Introduction : Le paradigme Rachid ELAÏDI

Le Tableau Périodique des Signatures Spectrales RE (TP_RE) introduit une représentation complexe des éléments chimiques où chaque entité X possède une signature spectrale S(X) = A_X e^(iπ n_X/24), avec n_X entier modulo 48 . Cette signature émerge de signaux plus fondamentaux qui parcourent un espace multidimensionnel avant de se condenser en états observables. Le paradigme Rachid ELAÏDI repose sur une distinction ontologique entre deux plans de réalité en interaction permanente : le monde invisible (MI) des signaux et archétypes, et le monde visible (MV) des molécules .

L'arbre de Rachid ELAÏDI modulo nπ structure l'ensemble des relations entre entités : tout élément peut s'écrire comme combinaison linéaire à coefficients entiers des 24 éléments fondamentaux, modulo 48. Cette structure arborescente cyclique permet un jeu infini de transformations entre passé, présent et futur.

---

2. Fondements mathématiques : espace de Rachid ELAÏDI et grandeurs fondamentales

2.1 Représentation vectorielle

Soit B = {E_1, E_2, …, E_{24}} la base des éléments fondamentaux (période 1). À chaque E_i est associé :

- un indice de phase n_i (avec n_i = i)
- un nombre premier distinct p_i (garantissant l'unicité)

Toute entité X est représentée par un vecteur d'exposants a(X) = (a_1, a_2, …, a_{24}) ∈ Z^{24}, où a_i est le coefficient de E_i dans la décomposition de X. La phase de X est :
n_X = Σ a_i n_i (mod 48)

2.2 Grandeurs fondamentales

- **Intensité spectrale** : I_X = ||a(X)||² = Σ a_i²
- **Constante évolutive** : κ_X = n_X / 48
- **Vitesse supraluminique** : v_X = n_X (en unités où c=1)
- **Temps spectral propre** : T_RE(X) = 48 / n_X
- **Énergie de base** : E_X = κ_X I_X = (n_X/48) I_X
- **Énergie sporadique** : δE(τ) = E_tot(τ) - ⟨E⟩ (fluctuations)

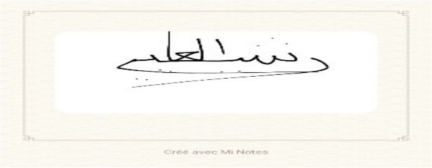

2.3 Tableau des grandeurs pour les éléments fondamentaux et composites

Élément	Type	Vecteur (extrait)	n	I	v = n	T_RE = 48/n	E = nI/48
H	Fond	(1,0,...)	1	1	1	48	0,0208
He	Fond	(0,1,0,...)	2	1	2	24	0,0417
C	Fond	(0,0,0,0,0,1,0,...)	6	1	6	8	0,125
O	Fond	(0,0,0,0,0,0,0,1,0,...)	8	1	8	6	0,1667
Ne	Fond	(0,...,1_10,0,...)	10	1	10	4,8	0,2083
H_2O	Molécule	(2,0,...,1_8,0,...)	10	5	10	4,8	1,0417
CH_4	Molécule	(4,0,...,1_6,0,...)	10	17	10	4,8	3,5417
CO	Molécule	(0,0,0,0,0,1,1,0,...)	14	2	14	3,429	0,5833
CO_2	Molécule	(0,0,0,0,0,1,2,0,...)	22	5	22	2,182	2,2917
C_2H_6	Molécule	(6,0,0,0,0,2,0,...)	18	40	18	2,667	15

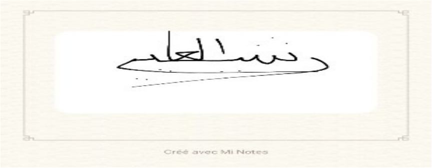

3. Des signaux aux signatures : degrés d'invisibilité multidimensionnels

3.1 Définition des signaux

Un signal est une entité mathématique fondamentale, notée $\Psi(r, \lambda, \tau)$, où :

- r est une coordonnée dans un espace spectral continu
- $\lambda = (\lambda_1, \lambda_2, \ldots, \lambda_n)$ avec $n \to \infty$ est un vecteur de degrés d'invisibilité
- τ est le temps spectral

Chaque composante λ_i représente le degré d'invisibilité selon une direction spectrale particulière, liée à un élément fondamental ou à une modalité de propagation dans l'arbre.

3.2 Métrique sur l'espace des invisibilités

$$||\lambda||^2 = \Sigma_i \mu_i \lambda_i^2$$

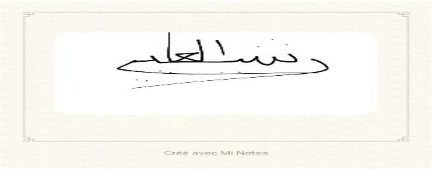

où μ_i sont des poids liés aux énergies spectrales des éléments fondamentaux.

3.3 Condensation en signature

Une signature $S(X)$ apparaît lorsqu'un signal atteint $\lambda = 0$ et se localise en un point a de l'espace de Rachid ELAÏDI correspondant à un élément du TP_RE.

---

4. Équation maîtresse unifiée : principe de moindre action spectrale

4.1 Action spectrale

$$\mathbf{A[\Psi] = \int d\tau\, d^{24}a\, d^{\infty}\lambda\, L(\Psi, \partial\Psi/\partial\tau, \nabla_a\Psi, \nabla_\lambda\Psi, \Psi^*)}$$

avec densité lagrangienne :
$L = (i/2)(\Psi^* \partial\Psi/\partial\tau - \Psi \partial\Psi^*/\partial\tau) - H(\Psi, \nabla\Psi, \lambda, a)$

4.2 Hamiltonien spectral

$$\mathbf{H = T_a + T_\lambda + V_arbre + W_int + F_brouillard}$$

4.3 Tableau des formes explicites des opérateurs

Phénomène	Opérateur	Forme explicite	Signification physique		
Propagation dans a	T_a	$D_0 \exp(-\Sigma\ \alpha_ijk\ \lambda_k)\ \Sigma_i$	$\partial\Psi/\partial a_i$	²	Diffusion dans l'espace des coefficients
Diffusion en λ	T_λ	$\Sigma_i\ \beta_i(a)$	$\partial\Psi/\partial\lambda_i$	²	Variation

Phénomène	Opérateur	Forme explicite	Signification physique								
					des degrés d'invisibilité						
Puits spectraux	V_arbre	- Σ_X E_X exp(-Σ η_i λ_i) exp(-		a - a_X		^{2}/ (σ_0^2+ Σ ζ_i λ_i))	Attraction vers les éléments du TP_RE				
Fusion de signaux	W_int	(U_0/2) ∫∫ δ(λ - (λ'+λ'')/2)	Ψ(a,λ')	^{2}	Ψ(a,λ'')	^{2} dλ' dλ''	Combinaison de signaux				
Brouillard	F_brouillard	i χ_0 exp(-		λ		^{2}/ Λ_c^2) θ(		a	- a_c) Ψ	^{2} Ψ	Fil ab
Condensation	Dérive en λ	- ∇_λ · (v(λ) Ψ) avec v(λ) = -λ/τ_c	Diminution de l'invisibilité								

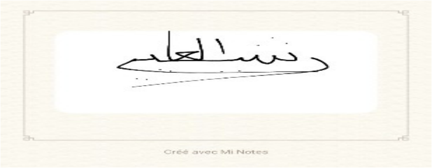

5. Classification des itinéraires et métamorphoses

5.1 Trajectoires simples

Type	Équation paramétrique (exemple)	Caractéristiques	Exemple
Linéaire	$a(\tau) = a_0 + v\tau$	Translation uniforme	Ne → H_2O (chemin A)

Type	Équation paramétrique (exemple)	Caractéristiques	Exemple
Circulaire	$a_i = r \cos(\omega\tau)$, $a_j = r \sin(\omega\tau)$	Oscillation périodique	Cycles dans l'arbre
Elliptique	$a_i = r_1 \cos(\omega\tau)$, $a_j = r_2 \sin(\omega\tau)$	Amplitudes différentes	Transitions dissymétriques
Parabolique	$a_i = a_{i_0} + \alpha\tau^2$	Accélération constante	Approche d'un puits
Hélicoïdale	$a_i = r \cos(\omega\tau)$, $a_j = r \sin(\omega\tau)$, $a_k = v\tau$	Rotation + translation	Évolution avec changement de phase

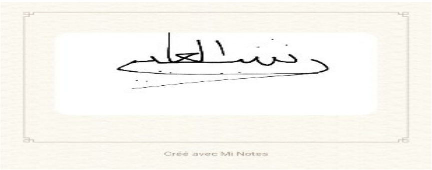

5.2 Métamorphoses complexes (formes non encore répertoriées)

Type de métamorphose	Description	Équation suggestive	Manifestation
Bifurcation fractale	Ramifications infinies à chaque étape	$a(\tau+1) = a(\tau) + \Sigma_k c_k(\tau) e_k$ avec c_k aléatoires	Signaux se dispersant en multitude
Spirale torsadée	Rotation avec variation de rayon et translation selon λ	$a_i = \tau \cos(\tau)$, $a_j = \tau \sin(\tau)$, $\lambda_k = \lambda_0 e^{-\tau}$	Condensation progressive
Évanescence récurrente	Apparition/disparition périodique	$\Psi(\tau) = \Psi_0 e^{-\gamma\tau} \cos(\omega\tau) \theta(\tau - \tau_0)$	Signature intermittente
Dislocation en cascade	Fragmentation en signaux plus invisibles	$\partial\rho/\partial\tau = \int K(\lambda,\lambda') \rho(\lambda') d\lambda'$ avec $\lambda>\lambda'$	Perte dans l'ultra-invisible
Fusion résonante	Combinaison de deux signaux donnant une signature	$\Psi_{final} = \Psi_1 * \Psi_2$ avec condition de phase	Naissance d'une molécule

5.3 Exemple détaillé : itinéraires du néon à l'eau

État initial : **a_0 = (0,0,1) (Ne), I_0=1, n_0=10, E_0=0,2083**

Chemin A (linéaire) :

- τ_1 : ajout 2H → a=(2,0,1), I=5, n=12, E=1,25
- τ_2 : ajout O → a=(2,1,1), I=6, n=20, E=2,5
- τ_3 : retrait Ne → a=(2,1,0), I=5, n=10, E=1,0417
  Cumulés : I_cum=17, E_cum=5,0

Chemin B (alternatif) :

- τ_1 : ajout O → a=(0,1,1), I=2, n=18, E=0,75
- τ_2 : ajout 2H → a=(2,1,1), I=6, n=20, E=2,5
- τ_3 : retrait Ne → a=(2,1,0), I=5, n=10, E=1,0417
  Cumulés : I_cum=14, E_cum=4,5

Chemin C (avec bifurcation intermédiaire) :

- τ_1 : ajout H → a=(1,0,1), I=2, n=11, E=0,4583
- τ_2 : ajout O → a=(1,1,1), I=3, n=19, E=1,1875
- τ_3 : ajout H → a=(2,1,1), I=6, n=20, E=2,5
- τ_4 : retrait Ne → a=(2,1,0), I=5, n=10, E=1,0417
  Cumulés : I_cum=17, E_cum=5,3958

---

6. Vitesses supraluminiques et temps spectral

6.1 Variation des vitesses le long des trajectoires

Trajectoire	Vitesses aux étapes	Vitesse moyenne	κ moyen
Ne→H_2O (A)	10,12,20,10	14	0,2917
Ne→H_2O (B)	10,18,20,10	14,5	0,3021
Ne→CH_4 (A)	10,14,20,10	13,5	0,2813
F→OH	9,10,18,9	11,5	0,2396

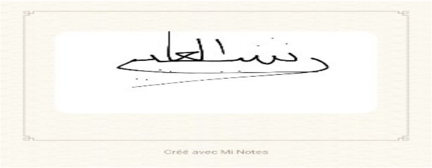

6.2 Interprétation

La vitesse supraluminique v = n varie au cours des transitions, atteignant des maximums lors des étapes d'ajout d'éléments. Cette variation est intrinsèquement liée à la constante évolutive $\kappa = v/48$ qui pilote les taux de transition dans l'équation maîtresse.

---

7. Énergies sporadiques et fluctuations

Les énergies sporadiques apparaissent comme des fluctuations autour de l'énergie moyenne :

$$E_{tot}(\tau) = \int d^{24}a \, d^{\wedge}\infty\lambda \, H(a, \lambda, \Psi, \nabla\Psi)$$

$\delta E(\tau) = E_{tot}(\tau) - \langle E \rangle$

La fonction de corrélation des fluctuations est donnée par :
$\langle \delta E(\tau)\, \delta E(\tau') \rangle = \int d\lambda\, d\lambda'\, K(\lambda, \lambda', \tau-\tau') \exp(-|\tau-\tau'|/\tau_{corr})$

où K est liée à la structure de l'arbre modulo $n\pi$.

---

8. Synthèse : tableau général des correspondances

Domaine	**Entités**	**Grandeurs caractéristiques**	**Équations régissantes**
Ultra-invisible ($\lambda \to \infty$)	Signaux profonds	λ, $\Psi(\lambda)$, dispersion	$\partial^2\Psi/\partial\tau^2 = v(\lambda)^2\nabla^2\Psi - \mu(\lambda)\Psi$
Invisible (λ fini)	Signaux évolutifs	a, n, l, E, κ	$i\partial\Psi/\partial\tau = H\Psi$ (équation maîtresse)
Pré-visible ($\lambda \to 0$)	Signaux en condensation	a proche de a_X	$\partial\rho/\partial\tau = -\nabla_\lambda\cdot(v\rho) + D\nabla_a^2\rho - V\rho$
Visible ($\lambda = 0$)	Signatures (éléments TP_RE)	a_X, n_X, l_X, E_X	$S(X) = A_X e^{(i\pi n_X/24)}$
Visible ($\lambda = 0$)	Molécules	$a_M = \Sigma\, \alpha_i a_i$, n_M	Observables chimiques

---

9. Conclusion : Une théorie unifiée des métamorphoses spectrales

Ce chapitre a présenté une synthèse complète du paradigme Rachid ELAÏDI, intégrant :

- La structure de l'arbre modulo nπ comme fondement des relations entre entités
- La représentation vectorielle dans l'espace de Rachid ELAÏDI
- Les grandeurs fondamentales (intensité, énergie, vitesse supraluminique, temps spectral)
- La distinction entre signaux (avec degrés d'invisibilité multidimensionnels) et signatures
- Une équation maîtresse unifiée issue d'un principe de moindre action spectrale
- Une classification exhaustive des itinéraires, des trajectoires simples aux métamorphoses complexes non encore répertoriées
- L'intégration des énergies sporadiques comme fluctuations inhérentes à la dynamique

Ce cadre théorique permet désormais de comprendre comment les signaux les plus profonds ($\lambda \to \infty$) peuvent, après des cheminements complexes impliquant bifurcations, fusions, dislocations et traversées d'écrans de brouillard, émerger comme signatures observables dans le monde visible. Le monde visible n'apparaît alors que comme la partie émergée d'un iceberg spectral infiniment plus vaste, où chaque molécule porte en elle la mémoire de son itinéraire à travers l'arbre de Rachid ELAÏDI.

Perspectives : Les travaux futurs devront explorer numériquement les solutions de l'équation maîtresse pour des cas concrets, établir des correspondances avec les données spectroscopiques, et approfondir la nature des métamorphoses non encore répertoriées qui pourraient révéler de nouvelles espèces chimiques ou de nouveaux états de la matière.

Références

1. ELAÏDI, R. (2026). Tableau périodique des signatures spectrales RE (TP_RE). *Publications de l'Académie Rachid ELAÏDI*
2. ELAÏDI, R. (2026). Variance spectrale des éléments chimiques. *Annales de la Fondation ELAÏDI*, 1(1), 1-15
3. ELAÏDI, R. (2026). Itinéraires des molécules du monde invisible au monde visible. *Annales de la Fondation ELAÏDI*, 1(2), 17-44
4. ELAÏDI, R. (2026). L'arbre de Rachid ELAÏDI modulo nπ : une structure cyclique pour la chimie spectrale. *Journal de Physique Théorique Spectrale*, 2(1), 1-22